



## بررسی پلی مورفیسم کدون ۷۲ ژن TP53 در بیوپسی‌های

### سرویکس با هیستولوژی غیرطبیعی در استان بوشهر

مرضیه ذاکر حسینی (MSc)<sup>۱</sup>، سیروس نعیمی (PhD)<sup>۱</sup>، مریم مرادی نسب (MSc)<sup>۲</sup>،

سکینه طاهرخانی (PhD)<sup>۳</sup>، فاطمه فرشادپور (PhD)<sup>۴</sup>، اکرم انصاری فر (MSc)<sup>۴</sup>، رضا طاهرخانی (PhD)<sup>۲\*</sup>

<sup>۱</sup> گروه ژنتیک، دانشکده علوم پایه، واحد کازرون، دانشگاه آزاد اسلامی کازرون، کازرون، ایران

<sup>۲</sup> مرکز تحقیقات طب گرمسیری و عفونی خلیج فارس، پژوهشکده علوم زیست پزشکی خلیج فارس، دانشگاه علوم پزشکی بوشهر، بوشهر، ایران

<sup>۳</sup> گروه مامایی و بهداشت باروری، دانشکده پرستاری و مامایی، دانشگاه علوم پزشکی شاهرود، شاهرود، ایران

<sup>۴</sup> مرکز تحقیقات زیست فناوری دریایی خلیج فارس، پژوهشکده علوم زیست پزشکی خلیج فارس، دانشگاه علوم پزشکی بوشهر، بوشهر، ایران

(دریافت مقاله: ۹۶/۱/۹ - پذیرش مقاله: ۹۶/۸/۲۰)

#### چکیده

زمینه: ژن سرکوبگر تومور *TP53*، در ترمیم آسیب‌های وارد شده به DNA و همچنین در آپوپتوزیس سلولی نقش دارد. این پژوهش به بررسی ارتباط بین پلی مورفیسم کدون ۷۲ ژن *TP53* در انواع نمونه‌های بافتی غیرطبیعی سرویکس در مقایسه با نمونه‌های زنان سالم به‌عنوان گروه کنترل و همچنین فراوانی ویروس‌های هرپس سیمپلکس انسانی در این نمونه‌ها پرداخته است.

مواد و روش‌ها: در این مطالعه موردی- شاهدهی، تعداد ۱۱۰ نمونه بیوپسی سرویکس با پاتولوژی غیرنرمال از آرشیو بخش پاتولوژی بیمارستان شهدای خلیج فارس بوشهر مورد بررسی قرار گرفت و تعداد ۱۶۴ نفر از زنان سالم به‌عنوان گروه کنترل انتخاب شدند. جهت شناسایی ویروس هرپس سیمپلکس از آزمون PCR یک مرحله‌ای و به‌منظور آنالیز پلی مورفیسم کدون ۷۲ ژن *TP53* از روش Allele-specific PCR استفاده گردید. داده‌ها با نرم‌افزار SPSS ویرایش ۱۷ مورد تجزیه و تحلیل قرار گرفتند.

یافته‌ها: توزیع ژنوتیپ‌های *TP53* در دو گروه بیمار و کنترل، از نظر آماری معنی‌دار نبود. در بررسی فراوانی دو آلل آرژنین و پرولین مشخص گردید که افراد فاقد آلل پرولین در گروه بیمار (۱۹ درصد) نسبت به گروه کنترل (۳۰/۱ درصد) کمتر می‌باشند که این تفاوت از نظر آماری معنی‌دار است ( $p=0.04$ ) ( $OR=1/86$ ، درصد، ۹۵ CI: ۱/۰۳-۳/۳۶). همچنین ارتباط آماری معنی‌داری میان نتایج مختلف پاتولوژی، سن، قومیت و محل سکونت با ژنوتیپ *TP53* مشاهده نگردید. در این بررسی، ویروس HSV در نمونه‌های مورد مطالعه شناسایی نشد.

نتیجه‌گیری: به دلیل مشاهده اختلاف معنی‌دار آلل پرولین بین دو گروه بیمار و کنترل به نظر می‌رسد که این آلل با نتایج پاتولوژی غیرنرمال دهانه رحم در استان بوشهر ارتباط داشته باشد.

واژگان کلیدی: پلی مورفیسم، ژن *TP53*، ویروس هرپس سیمپلکس، Allele-specific PCR

\* بوشهر، مرکز تحقیقات طب گرمسیری و عفونی خلیج فارس، پژوهشکده علوم زیست پزشکی خلیج فارس، دانشگاه علوم پزشکی و خدمات بهداشتی درمانی بوشهر

## مقدمه

سرطان دهانه رحم یک بیماری بسیار شایع و خطرناک در میان زنان در کشورهای در حال توسعه می‌باشد (۱). بیش از ۸۰ درصد از تمام مرگ و میر زنان بر اثر سرطان دهانه رحم در کشورهای کم درآمد می‌باشد (۲). نقش تغییرات ژنتیکی در انکوژن‌ها و جهش در ژن‌های سرکوب کننده تومور در بروز بسیاری از سرطان‌ها شناخته شده است. ژن سرکوبگر تومور *TP53* دارای ۱۱ اگزون می‌باشد، که یک فسفو پروتئین را تولید می‌کند، که در ترمیم آسیب‌های وارد شده به DNA و همچنین در آپوپتوزیس نقش دارد. بنابراین هر گونه جهش و یا تغییر در این ژن که منجر به عملکرد نامناسب و یا تجزیه این پروتئین شود بسیار اهمیت دارد (۳-۵). وجود اشکال مختلف آللی در یک ژن، پلی مورفیسم نامیده می‌شود. پلی مورفیسم اشکال مختلفی دارد که یکی از انواع آن تغییر در کدون و به دنبال آن تغییر در ژنوتیپ ایجاد شده است. این تغییر منجر به ایجاد تفاوت در عملکرد طبیعی پروتئین اصلی می‌شود (۶). پلی مورفیسم با فراوانی بیش از یک درصد در جمعیت رخ می‌دهد در حالی که جهش با فراوانی کمتر از یک درصد در جمعیت رخ می‌دهد (۷ و ۸). کدون ۷۲ اگزون ۴ ژن *TP53* دارای پلی مورفیسم شایعی است که در اثر جابجایی  $C \rightarrow G$  موجب تولید دو پروتئین (دارای اسید آمینه آرژنین با کدون CGC یا پرولین با کدون CCC) با عملکرد متفاوت می‌شود و با بروز انواع سرطان‌های انسانی همانند کولورکتال، پستان و ریه ارتباط دارد (۹-۱۱). این جابجایی باعث ایجاد سه نوع ژنوتیپ می‌شود: هموزیگوت آرژنین (*Arg/Arg*)، هموزیگوت پرولین (*Pro/Pro*) و ژنوتیپ هتروزیگوت (*Arg/Pro*). این پلی مورفیسم ممکن است روی عملکرد آپوپتوتیک پروتئین p53 اثر بگذارد (۱۲ و ۱۳).

علاوه بر این نقش ویروس‌های پاپیلومای انسانی (*Human Papillomavirus-HPV*) به عنوان علل اساسی ضایعات خوش خیم و بدخیم مجاری تناسلی خصوصاً دهانه رحم ثابت شده است (۱۴) ولی سایر ویروس‌ها آلوده کننده نواحی تناسلی همانند ویروس‌های هرپس سیمپلکس (*Herpes simplex viruses-HSV*)، دارای نواحی ژنی می‌باشند که در ترانسفرمسیون سلولی نقش دارند و می‌توانند به عنوان فاکتورها یا کوفاکتورهای احتمالی در ایجاد ضایعات خوش خیم و بدخیم دستگاه تناسلی همانند سرویکس مطرح باشند (۱۵ و ۱۶). در ژنوم *HSV* دو ناحیه مجزا بنام *mtrII* و *mtrIII* وجود دارد که در ترانسفرمسیون سلولی نقش دارند، این دو ناحیه حاوی ژن‌های کدکننده تحت واحد کوچک و بزرگ ریبونوکلوئید ردوکتاز می‌باشند و بیان نامناسب این آنزیم ممکن است نقش مهمی در ترانسفرمسیون سلولی توسط تغییر دادن مخازن *DAKSI* نوکلئوزید تری فسفات داشته باشد. پروتئین *RRA* که جزء زیر واحد بزرگ آنزیم ریبونوکلوئید ردوکتاز ویروس *HSV* است نقش بسیار مهمی در جهش و تقسیم سلولی بدون برنامه‌ریزی دارد که این امر خود باعث تمایل سلول به سمت سرطانی شدن می‌شود (۱۷ و ۱۸). در نتیجه بررسی نقش ویروس هرپس سیمپلکس، در ایجاد عفونت تناسلی و پیشرفت آسیب‌های بافتی حائز اهمیت می‌باشد. بنابراین مطالعه حاضر به منظور بررسی فراوانی ویروس‌های هرپس سیمپلکس انسانی نوع ۱ و ۲ (*HSV-1,2*) و ارزیابی دقیق پلی مورفیسم کدون ۷۲ ژن *TP53* در نمونه‌های بیوپسی سرویکس با هیستولوژی غیرنرمال در مقایسه با زنان سالم (به عنوان گروه کنترل) به روش *Allele-specific PCR* طراحی گردید.

## مواد و روش‌ها

در این تحقیق موردی-شاهدی، تعداد ۱۱۰ نمونه بیوپسی سرویکس با پاتولوژی غیرنرمال مربوط به ۱۱۰ بیمار، از آرشیو بخش پاتولوژی بیمارستان شهدای خلیج فارس بوشهر انتخاب شد و با استفاده از میکروتوم و تیغ‌های یکبار مصرف از هر نمونه ۱۰ برش با ضخامت ۱۰ میکرون تهیه گردید. همچنین جهت گروه کنترل تعداد ۱۶۴ نفر از نمونه‌های خانم‌های سالم به‌طور تصادفی، بعد از کسب رضایت شفایی انتخاب شدند. حجم نمونه با استفاده از نرم‌افزار GPower ۱۰-۳-۰ محاسبه گردید. میزان خطای الفا و بتا به ترتیب برابر ۰/۰۵ و ۰/۲۰ در نظر گرفته شد. در این مطالعه جهت استخراج DNA، ابتدا پارافین‌زدایی با استفاده از زایلن انجام شد و بعد از شستشو با اتانول مطلق نمونه‌ها خشک گردید و سپس استخراج با کیت تجاری High Pure PCR Template Preparation Kit شرکت Roche ساخت کشور آلمان و براساس دستورالعمل آن صورت گرفت. سپس کیفیت و کمیت DNA استخراج شده با استفاده از دستگاه نانودراپ ساخت شرکت ترمو (کشور اوکراین) اندازه‌گیری گردید، میانگین غلظت DNA استخراج شده برابر ۱۰۰ نانوگرم بر میکرولیتر با

دامنه ۵۰ تا ۲۰۰ نانوگرم بر میکرولیتر بود. آنالیز ژنوتیپ ژن TP53 در کدون ۷۲ با تکثیر اگزون شماره ۴ ژن TP53 با استفاده از روش Allele-specific PCR انجام گردید (۱۹ و ۲۰). شناسایی ویروس هرپس سیمپلکس، با استفاده از پرایمرهای اختصاصی که ناحیه گلیکوپروتئین D (Glycoprotein D) را در بر می‌گرفتند، انجام شد (۲۱). واکنش PCR در حجم ۲۵ میکرولیتر، شامل ۲/۵ میکرولیتر از 10X بافر PCR، ۳/۴ میکرولیتر از 15mM MgCl<sub>2</sub> (غلظت نهایی ۲mM)، ۰/۵ میکرولیتر dNTP (۲۰۰ μM)، ۱ میکرولیتر از هر پرایمر مستقیم و معکوس (۱۰ پیکومول)، ۰/۲ میکرولیتر (یک واحد) آنزیم DNA پلی‌مراز Taq (شرکت Roche، کشور آلمان)، ۲ میکرولیتر DNA ژنومیک (غلظت نهایی ۱۰۰ تا ۱۵۰ نانوگرم) بود و با ۱۴/۴ میکرولیتر آب استریل تزریقی حجم نهایی به ۲۵ میکرولیتر رسانده شد (۲۲). توالی پرایمرهای اختصاصی جهت تکثیر آلل پرولین، آلل آرژنین و توالی پرایمرهای اختصاصی جهت تکثیر همزمان ویروس‌های HSV-1 و HSV-2 در جدول ۱ آورده شده است.

جدول ۱) توالی پرایمرهای استفاده شده در این مطالعه

ژن هدف	نام پرایمرها	توالی پرایمرها از جهت 5'→3'	طول آمپلیکون	دما اتصال	زمان اتصال	رفرنس
HSV1,2-gD	HSV-F1	ATCCGAACGCAGCCCCGCTG	۳۸۳ bp	۶۵C	۳۰ ثانیه	(۲۱)
	HSV-R1	TCCGGSGGCAGCAGGGTGCT				
Proline allele-TP53	Pro-F	GCCAGAGGCTGCTCCCC	۱۷۷ bp	۵۶ C	۳۰ ثانیه	(۲۰ و ۱۹)
	Pro-R	CGTGCAAGTCACAGACTT				
Arginine allele-TP53	Arg-F	TCCCCCTTGCCGTCCCAA	۱۴۱ bp	۶۲C	۳۰ ثانیه	(۲۰ و ۱۹)
	Arg-R	CTGGTGCAGGGGCCACGC				

واسرشت‌سازی اولیه برای هر سه PCR، ۲) جهت آلل پرولین با ۳۵ چرخه در دماهای ۹۴ درجه

شرایط دمایی و زمانی هر دو PCR به‌صورت زیر در دستگاه ترموسایکلر تنظیم گردید: ۱) مدت زمان ۵ دقیقه

### یافته‌ها

در این پژوهش، تعداد ۱۱۰ نمونه جمع‌آوری گردید که ۵ نمونه به دلیل نداشتن شرایط مناسب حذف شدند و عملیات استخراج DNA روی ۱۰۵ نمونه انجام شد. در نهایت ۱۰۵ نمونه سرویکس با هیستولوژی غیر نرمال و ۱۶۴ نمونه سالم در شهر بوشهر مورد بررسی قرار گرفت. میانگین سنی در گروه بیماران برابر  $46/67 \pm 44/67$  با دامنه سنی ۱۹ تا ۶۸ سال می‌باشد. در گروه کنترل میانگین سنی برابر  $11/61 \pm 47/27$  با دامنه سنی ۲۳ تا ۸۰ سال می‌باشد. نمونه‌های بافتی بیماران دارای نتایج پاتولوژی متاپلازی، *Metaplasia*، *Polypoid*، *Hyperplasia Papillary*، *Dysplasia* *Cancer* بودند. برای مشخص نمودن پلی‌مورفیسم کدون ۷۲ ژن *TP53* از پرایمرهای اختصاصی برای آلل آرژنین و آلل پرولین با روش واکنش زنجیره‌ای پلیمرز (PCR) استفاده شد که طول محصول PCR برای آلل پرولین ۱۷۷ جفت باز و آلل آرژنین ۱۴۱ جفت باز بود. توزیع ژنوتیپ‌های کدون ۷۲ ژن *TP53* در آگزون ۴ در گروه بیمار و کنترل در جدول ۲ نشان داده شده است.

به مدت ۳۰ ثانیه، ۵۶ درجه سانتی‌گراد به مدت ۳۰ ثانیه و ۷۲ درجه سانتی‌گراد به مدت ۱ دقیقه، ۳ PCR جهت آلل آرژنین با ۳۵ چرخه در دماهای ۹۴ به مدت ۳۰ ثانیه، ۶۲ درجه سانتی‌گراد به مدت ۳۰ ثانیه و ۷۲ درجه سانتی‌گراد به مدت ۱ دقیقه، ۴ PCR جهت تشخیص ویروس‌های *HSV1* و *HSV2* با ۳۵ چرخه در دماهای ۹۴ به مدت ۳۰ ثانیه، ۶۵ درجه سانتی‌گراد به مدت ۳۰ ثانیه و ۷۲ درجه سانتی‌گراد به مدت ۱ دقیقه، ۵ مدت زمان ۱۰ دقیقه بسط نهایی برای هر سه PCR. محصول PCR برای آلل پرولین، آلل آرژنین و ویروس *HSV* به ترتیب برابر ۱۷۷bp، ۱۴۱bp و ۳۸۳bp می‌باشد، که بر روی ژل آگاروز ۳ درصد در ولتاژ ۱۰۰V به مدت ۹۰ دقیقه الکتروفورز گردید و با استفاده UV Transluminator مشاهده گردید (۱۹ و ۲۰).

تجزیه و تحلیل داده‌ها با نرم‌افزار SPSS ویراست ۱۷ و با آزمون‌های آماری مربع کای و آزمون دقیق فیشر مورد بررسی قرار گرفتند. جهت مقایسه توزیع فراوانی سه ژنوتیپ مختلف کدون ۷۲ ژن *TP53* در نمونه‌های سرویکس با هیستولوژی غیرنرمال با توزیع فراوانی این سه ژنوتیپ در نمونه‌های گروه کنترل از آزمون رگرسیون لجستیک استفاده شد. مقادیر *p* کمتر از ۰/۰۵ معنی‌دار در نظر گرفته شد.

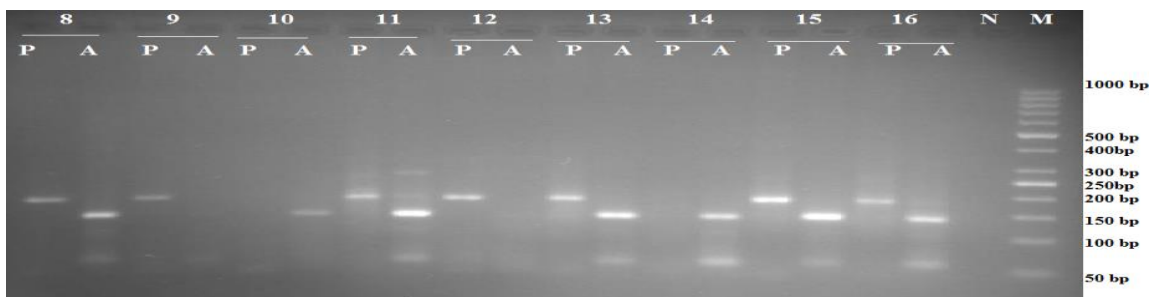
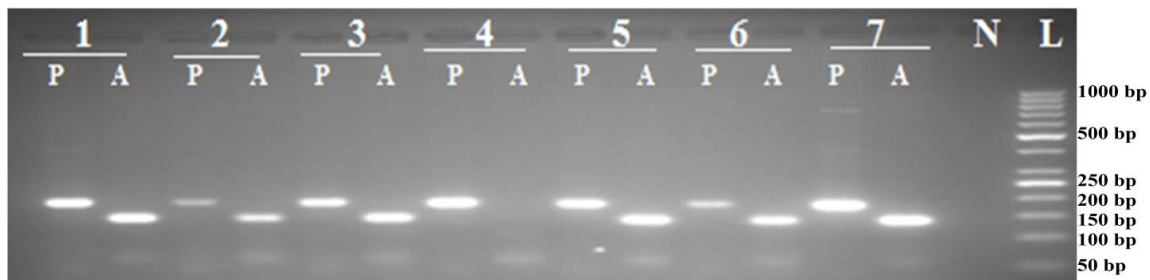
جدول ۲) توزیع فراوانی ژنوتیپ و آلل کدون ۷۲ ژن *TP53* در گروه کنترل و بیمار

<i>p</i> value	OR (CI % ۹۵)	فراوانی کنترل (%)	فراوانی بیمار (%)		
۰/۱۲	۱/۰	۹۲(۵۶/۱)	۶۵(۶۱/۹)	Arg/Pro	ژنوتیپ
۰/۰۷	۱/۷۶	۵۰(۳۰/۱)	۲۰(۱۹/۰۵)	Arg/Arg	
۰/۴۷	۰/۷۷	۲۲(۱۳/۴)	۲۰(۱۹/۰۵)	Pro /Pro	
۰/۰۴	۱/۰	۱۱۴(۶۹/۵)	۸۵(۸۱)	Pro +	آلل پرولین
	۱/۸۶(۱/۰۳-۳/۳۶)	۵۰(۳۰/۵)	۲۰(۱۹)	Pro -	
۰/۲۲	۱/۰	۱۴۲(۸۶/۶)	۸۵(۸۱)	Arg +	آلل آرژنین
	۰/۶۶(۰/۳۴-۱/۲۷)	۲۲(۱۳/۴)	۲۰(۱۹)	Arg -	
		۱۶۴(۱۰۰)	۱۰۵(۱۰۰)	کل	

مطالعه دو آلل آرژنین و پرولین نیز بررسی گردید که نتایج حاصل از بررسی فراوانی دو آلل آرژنین و پرولین در دو گروه بیمار و کنترل نشان داد که افراد فاقد آلل پرولین در گروه بیمار (۱۹ درصد) نسبت به گروه کنترل (۳۰/۵ درصد) کمتر بوده‌اند. با استفاده از آزمون رگرسیون لجستیک مشخص شد که ارتباط معنی‌دار بین آلل پرولین در میان افراد سالم و افراد بیمار وجود دارد ( $p=0/04$ ) ( $OR=1/86$ ,  $CI$  درصد ۹۵:  $1/03-3/36$ ). همچنین افراد فاقد آلل آرژنین در گروه بیمار (۱۹ درصد) بیشتر از گروه کنترل (۱۳/۴ درصد) می‌باشد ولی این اختلاف از لحاظ آماری معنادار نبود ( $p=0/22$ ). در این مطالعه ویروس HSV در هیچ‌کدام از نمونه‌های بیوپسی شناسایی نگردید.

فراوانی ژنوتیپی هموزیگوت Arg/Arg در نمونه‌های بیمار ۱۹/۰۵ درصد و در نمونه‌های کنترل ۳۰/۱ درصد بود. فراوانی ژنوتیپ هموزیگوت Pro/Pro در نمونه‌های بیمار ۱۹/۰۵ درصد و در نمونه‌های کنترل ۱۳/۴ درصد می‌باشد. فراوانی ژنوتیپ هتروزیگوت Arg/Pro در نمونه‌های بیمار ۶۱/۹ درصد و در نمونه‌های کنترل ۵۶/۱ درصد بود.

نتایج با استفاده از آزمون رگرسیون لجستیک بررسی گردید مقدار  $p$  در سه ژنوتیپ Arg/Pro، ۰/۱۲ و ژنوتیپ Arg/Arg، ۰/۰۷ و ژنوتیپ Pro/Pro، ۰/۴۷ بود، بنابراین ارتباط معنی‌داری بین ژنوتیپ‌های هتروزیگوت و هموزیگوت‌های کدون ۷۲ ژن TP53 در گروه بیمار و کنترل وجود نداشت. همچنین در این



شکل ۱) نتایج الکتروفورز ژل آگاروز محصولات PCR مربوط به آلل پرولین (A) باند ۱۴۱bp و آلل آرژنین (P) باند ۱۷۷bp مربوط به ۱۶ نمونه را نشان می‌دهد. L: نشانگر مولکولی ۵۰bp شرکت فرمتناز، M: نشانگر مولکولی ۱۰۰bp شرکت سیمویو، N: کنترل منفی.

## بحث

پروتئین طبیعی سرکوبگر تومور p53 نقش محافظت از ژنوم در مقابل صدمات وارده را بر عهده دارد که منجر به ترمیم ژنوم و یا آپوپتوزیس سلولی می‌شود. تغییرات مولکولی در ژن *TP53* از جمله جهش و پلی‌مورفیسم کدون ۷۲ بر روی عملکرد آپوپتوزی این پروتئین نقش داشته و با رشد و توسعه سرطان ارتباط دارد (۵ و ۶). وجود یک SNP (دارای اسیدآمینۀ آرژینین با کدون CGC یا پرولین با کدون CCC) در اگزون ۴ ژن *TP53* باعث حضور اسیدآمینۀ آرژینین یا پرولین در کدون ۷۲ می‌گردد (۱۹). این پلی‌مورفیسم تحت تأثیر نژاد و موقعیت جغرافیایی است (۲۳). نتایج به‌دست آمده از مطالعه ما نشان داد که ارتباط معنی‌داری میان پلی‌مورفیسم کدون ۷۲ ژن *TP53* (سه ژنوتیپ Arg/Pro، Arg/Arg و Pro/Pro) و ضایعات بافت دهانه رحم در زنان بوشهری وجود ندارد. در این مطالعه میانگین سنی در گروه بیمار برابر  $46 \pm 9/67/44$  با دامنه سنی ۱۹ تا ۶۸ سال و در گروه کنترل میانگین سنی برابر  $41 \pm 11/27/47$  با دامنه سنی ۲۳ تا ۸۰ سال می‌باشد. در پژوهش حاضر، از طریق تجزیه و تحلیل آماری نتایج ۱۰۵ نمونه بیمار و مقایسه آن با ۱۶۴ نمونه کنترل در شهر بوشهر ارتباط معنی‌داری بین ژنوتیپ‌های هتروزیگوت و هموزیگوت‌های کدون ۷۲ ژن *TP53* با بیوپسی‌های سرویکس با هیستولوژی غیرنرمال مشاهده نشد. فراوانی ژنوتیپی هموزیگوت Arg/Arg در نمونه‌های بیمار ۱۹/۰۵ درصد و در نمونه‌های کنترل ۳۰/۱ درصد، فراوانی ژنوتیپ هموزیگوت Pro/Pro در نمونه‌های بیمار ۱۹/۰۵ درصد و در نمونه‌های کنترل ۱۳/۴ درصد و فراوانی ژنوتیپ هتروزیگوت Arg/Pro در نمونه‌های بیمار ۶۱/۹ درصد و در نمونه‌های کنترل ۵۶/۱ درصد بود.

در مطالعه ما نتایج حاصل از بررسی فراوانی دو آلل آرژینین و پرولین نشان داد که افراد فاقد آلل پرولین در گروه بیمار (۱۹ درصد) نسبت به گروه کنترل (۳۰/۵ درصد) کمتر بوده‌اند و ارتباط معنی‌دار بین آلل پرولین در میان افراد سالم و افراد بیمار وجود دارد ( $p=0/04$ )، همچنین افراد فاقد آلل آرژینین در گروه بیمار (۱۹ درصد) بیشتر از گروه کنترل (۱۳/۴ درصد) بودند ولی این اختلاف از لحاظ آماری معنادار نبود ( $p=0/22$ ). نتایج به‌دست آمده از بررسی توزیع آلل آرژینین و پرولین توسط اُمُری (Omori) و همکاران در میان زنان ژاپنی (۲۴)، پیلائی (Pillai) و همکاران در جنوب هند (۲۵) و کوآمو (Kouamou) و همکاران در زیمبابوه (۲۶) نشان دادند فراوانی آلل پرولین در گروه بیمار بیشتر از گروه کنترل می‌باشد که با مطالعه حاضر مطابقت دارد، درحالی‌که با نتایج به‌دست آمده توسط دُمونت (Domont) و همکاران (۱۳) و باسیار (Basyar) و همکاران (۲۷) مغایرت دارد. همچنین در مطالعه‌ای که توسط آسومو (Assoumou) و همکاران (۲۸) در بین زنان گابنی و مالیسیس (Malisice) و همکاران (۲۹) در میان زنان صربستانی انجام دادند، مشخص گردید پلی‌مورفیسم کدون ۷۲ ژن *TP53* نقشی در ابتلا به سرطان دهانه رحم در بین این جمعیت‌ها ندارد، که این نتیجه نیز با مطالعه حاضر مطابقت دارد. در مطالعه کوآمو (Kouamou) و همکاران که در میان زنان زیمبابوه‌ای انجام دادند نیز ارتباط معنی‌داری بین ژنوتیپ‌های هتروزیگوت و هموزیگوت‌های کدون ۷۲ ژن *TP53* در میان دو گروه بیمار و کنترل وجود نداشت و مشخص گردید پلی‌مورفیسم کدون ۷۲ ژن *TP53* نقشی در ابتلا به سرطان دهانه رحم در بین این جمعیت ندارد (۲۶).

بیشتری برای آپوپتوز نسبت به فرم دارای واریانت پرولین می‌باشد (۳۲ و ۳۳).

بنابراین با توجه به مطالعات فوق یکی از دلایل فراوانی کم واریانت آرژنین در نمونه‌های بیمار نسبت به کنترل و همچنین فراوانی بیشتر واریانت پرولین در نمونه‌های بیمار نسبت به نمونه‌های کنترل در مطالعه ما احتمالاً می‌تواند ناشی از این خصوصیت باشد که افراد دارای پرولین در مقایسه با افراد دارای آرژنین کمتر به فرایند آپوپتوز پاسخ می‌دهند.

همچنین در مطالعات مختلفی به بررسی ویروس HSV در نمونه‌های سرطانی یا با هیستولوژی غیرنرمال دهانه رحم پرداخته‌اند. در مطالعه‌ای که شانه‌ساززاده و همکاران به روش (Real time-PCR) انجام دادند میزان جداسازی ویروس HSV فقط ۲/۳ درصد بود که این محققان اعلام کردند هیچ ارتباطی بین این ویروس و بدخیمی دهانه رحم وجود ندارد (۳۴). در مطالعه ما نیز ارتباط میان عفونت HSV در نمونه‌های سرطانی یا نمونه‌هایی با هیستولوژی غیرنرمال دهانه رحم یافت نشد.

### نتیجه‌گیری

بطور کلی نتایج حاصل از مطالعه ما نشان داد که با توجه به توزیع ژنوتیپ‌های کدون ۷۲ ژن TP53، ارتباط آماری معناداری بین ژنوتیپ‌ها در میان دو گروه بیمار و کنترل وجود ندارد ولی با توجه به بررسی فراوانی دو آلل آرژنین و پرولین در دو گروه بیمار و کنترل مشخص شد که افراد فاقد آلل پرولین در گروه بیمار نسبت به گروه کنترل کمتر بوده‌اند همچنین افراد فاقد آلل آرژنین در گروه بیمار بیشتر از گروه کنترل می‌باشد بنابراین احتمالاً بیشتر بودن آلل پرولین و کمتر بودن آلل آرژنین

همان‌طور که ملاحظه می‌شود سایر مطالعات گذشته از بعضی جنبه‌ها متفاوت و در بعضی دیگر مشابه می‌باشد و این نشان دهنده آن است که ژنوتیپ کدون ۷۲ ژن TP53 می‌تواند عملکردهای مختلف اپی ژنتیکی در مناطق مختلف جغرافیایی داشته باشد و یا عواملی دیگر می‌تواند در عملکرد این ژن بسیار مهم نقش داشته باشد.

در یک مطالعه متآنالیز که توسط لی (Li) و همکاران در سال ۲۰۱۵ در کشور چین انجام گردید، ارتباط معنی‌دار آماری بین توزیع پلی مورفیسم ژن TP53 در گروه کنترل و مبتلایان به سرطان دهانه رحم وجود دارد، مطالعه لی (Li) نشان داد که ژنوتیپ هموزیگوت Pro/Pro کدون ۷۲ ژن TP53 ممکن است یکی از عوامل مستعد کننده ژنتیکی برای سرطان دهانه رحم در چین باشد (۱/۴۶-۱/۰۱: ۹۵ درصد CI، OR=۱/۲۲ (۳۰)، در مطالعه ما نیز ژنوتیپ هموزیگوت Pro/Pro در گروه مورد بیشتر از گروه کنترل بود گرچه این افزایش از نظر آماری معنی‌دار نبود. همچنین در مطالعه‌ای که توسط دُمنت (Domont) و همکاران انجام گرفت مشاهده گردید که فرم دارای آرژنین پروتئین p53 دارای قدرت بیشتری برای القاء آپوپتوز می‌باشد (۱۳) آنها با استفاده از فرم جهش یافته پروتئین p53 حساس به حرارت مشاهده کردند که فرم آرژنین‌دار p53 به‌طور مؤثری به میتوکندری انتقال می‌یابد جایی که با پروتئین‌های پروآپوپتوتیک نظیر GRP57 و Hsp60 واکنش نشان می‌دهد و سبب راه اندازی آپوپتوز می‌شود (۳۱). علاوه بر این در سه مطالعه دیگر انجام گرفته اشاره شد که فرم آرژنین‌دار پروتئین p53 هم در حضور (۳۱) و هم در عدم حضور شیمی درمانی دارای قدرت

همانند real-time PCR و بررسی سایر عوامل از جمله ابتلای به ویروس HPV پیشنهاد می‌شود.

#### سپاس و قدردانی

این مقاله حاصل پایان نامه مقطع کارشناسی ارشد ژنتیک می‌باشد که تحت حمایت مالی سازمانی یا موسسه‌ای نیست. محققان و نویسندگان این مقاله بدین وسیله مراتب تقدیر و تشکر خود را از همکاری صمیمانه همکاران مرکز تحقیقات طب گرمسیری و عفونی خلیج فارس اعلام می‌نمایند.

#### تضاد منافع

هیچ گونه تعارض منافع توسط نویسندگان بیان نشده است.

در گروه بیمار می‌تواند با نتایج پاتولوژی غیر نرمال دهانه رحم در استان بوشهر ارتباط داشته باشد.

با این وجود پیشنهاد می‌شود که جهت ارزیابی نقش دقیق‌تر پلی‌مورفیسم کدون ۷۲ ژن *TP53* در بدخیمی‌ها و سرطان دهانه رحم مطالعه اثرات برهم‌کنش ژن *TP53* با سایر ژن‌ها از قبیل *MDM-2* و *AKT* و همچنین بررسی اثر جهش‌ها نیز به‌کار گرفته شود. از محدودیت‌های مطالعه ما این است که به سایر فاکتورهای خطر دخیل در ضایعات دهانه رحم از جمله مصرف دخانیات و یا وضعیت تأهل دسترسی نداشتیم. همچنین کم بودن حجم نمونه باعث کاهش دقت مطالعه می‌گردد بنابراین انجام مطالعات بیشتر با حجم نمونه وسیع‌تر برای ارزیابی نقش دقیق‌تر این پلی‌مورفیسم همراه با بکارگیری روش‌های مولکولی حساس‌تر

## References:

1. Sankaranarayanan R, Thara S, Esmay PO, et al. Cervical cancer: screening and therapeutic perspectives. *Medical Principles and Practice* 2008;17(5):351-64.
2. Ferlay J, Steliarova-Foucher E, Lortet-Tieulent J, Rosso S, et al. Cancer incidence and mortality patterns in Europe: estimates for 40 countries in 2012. *European journal of cancer* 2013;49(6):1374-403.
3. Khan SA, Thomas HC, Toledano MB, et al. p53 Mutations in human cholangiocarcinoma: a review. *Liver international* 2005; 25(4): 704-16.
4. Gomez-Lazaro M, Fernandez-Gomez FJ, Jordan J. p53: twenty five years understanding the mechanism of genome protection. *Journal of physiology and biochemistry* 2004; 60(4):287-307.
5. Pietsch E, Humbey O, Murphy M. Polymorphisms in the p53 pathway. *Oncogene* 2006; 25(11):1602-11.
6. Murphy M. Polymorphic variants in the p53 pathway. *Cell Death & Differentiation* 2006;13(6):916-20.
7. Vogelstein B, Lane D, Levine AJ. Surfing the p53 network. *Nature* 2000; 16; 408(6810): 307-10.
8. Karki R, Pandya D, Elston RC, et al. Defining "mutation" and "polymorphism" in the era of personal genomics. *BMC Medical Genomics* 2015; 8:37.
9. Fan R, Wu MT, Miller D, et al. The p53 codon 72 polymorphism and lung cancer risk. *Cancer epidemiology, biomarkers & prevention: a publication of the American Association for Cancer Research, cosponsored by the American Society of Preventive Oncology* 2000; 9(10):1037-42.
10. Noma C, Miyoshi Y, Taguchi T, et al. Association of p53 genetic polymorphism (Arg72Pro) with estrogen receptor positive breast cancer risk in Japanese women. *Cancer letters* 2004; 210(2):197-203.
11. Pérez LO, Abba MC, Dulout FN, Evaluation of p53 codon 72 polymorphism in adenocarcinomas of the colon and rectum in La



- Plata, Argentina. *World J Gastroenterol* 2006; 12(9):1426-9.
12. Trifa F, Karray-Chouayekh S, Mabrouk I, et al. Haplotype analysis of p53 polymorphisms: Arg72Pro, Ins16bp and G13964C in Tunisian patients with familial or sporadic breast cancer. *Cancer epidemiology* 2010; 34(2): 184-8.
  13. Dumont P, Leu JI, Della Pietra AC, The codon 72 polymorphic variants of p53 have markedly different apoptotic potential. *Nature genetics* 2003; 33(3):357-65.
  14. IARC Working Group on the Evaluation of Carcinogenic Risks to Humans. Human papillomaviruses. IARC Monogr Eval Carcinog Risks Hum. 2007; 90: 1-6.
  15. Ermel AC, Brown DR. Viral Infections. In: Kasper DL, Fauci AS, editors. *Harrison's Infectious Diseases*. 3<sup>rd</sup> ed. New York: The McGraw-Hill Companies, 2017, 768-73.
  16. Miller S. Human Tumour Viruses. In: Carroll KC, Butel JS, Morse SA, Mietzner TA, editors. *Jawetz, Melnick, & Adelberg's Medical Microbiology*. 27th ed. New York: McGraw-Hill Education, 2016, 619-39.
  17. Jones C. Cervical cancer: is herpes simplex virus type II a cofactor? *Clinical microbiology reviews* 1995; 8(4): 549-56.
  18. Alibek K, Baiken Y, Kakpenova A, et al. Implication of human herpesviruses in oncogenesis through immune evasion and suppression. *Infectious agents and cancer* 2014; 9(3):1-8.
  19. Storey A, Thomas M, Kalita A, et al. Role of a p53 polymorphism in the development of human papilloma-virus-associated cancer. *Nature* 1998; 393(6682):229-34.
  20. Lattuada D, Viganò P, Somigliana E, et al. Analysis of the codon 72 polymorphism of the TP53 gene in patients with endometriosis. *Molecular human reproduction* 2004;10(9):651-4.
  21. Read SJ, Kurtz JB. Laboratory diagnosis of common viral infections of the central nervous system by using a single multiplex PCR screening assay. *Journal of clinical microbiology* 1999;37(5):1352-5.
  22. Taherkhani R, Farshadpour F, Makvandi M, et al. Determination of Cytomegalovirus Prevalence and Glycoprotein B Genotypes Among Ulcerative Colitis Patients in Ahvaz, Iran. *Jundishapur journal of microbiology* 2015;8(2):e17458.
  23. Beckman G, Birgander R, Sjölander A, et al. Is p53 polymorphism maintained by natural selection? *Human heredity* 1994;44(5):266-70.
  24. Omori S, Yoshida S, Kennedy SH, et al. Polymorphism at codon 72 of the p53 gene is not associated with endometriosis in a Japanese population. *Journal of the Society for Gynecologic Investigation* 2004;11(4):232-6.
  25. Pillai RM, Sreevidya S, Pollock BH, Polymorphism at codon 72 of p53, human papillomavirus, and cervical cancer in South India. *Journal of cancer research and clinical oncology* 2002;128(11):627-31.
  26. Kouamou V, Chin'ombe N, Matimba A, Ket al. P53 Codon 72 Polymorphism and the Risk of Cervical Cancer in Zimbabwean Women. *International Journal of TROPICAL DISEASE & Health* 2016;15(3):1-6.
  27. Basyar R, Saleh AZ, Sastradinata I, et al. p53 Gene Codon 72 Polymorphisms among Cervical Carcinoma Patients. *Indonesian Journal of Obstetrics and Gynecology* 2015; 3(3):165-9.
  28. Assoumou SZ, Boumba ALM, Ndjoyi-Mbiguino A, et al. The preliminary study of p53 codon 72 polymorphism and risk of cervical carcinoma in Gabonese women. *Medical Oncology* 2015;32(1):281.
  29. Malisic E, Jankovic R, Brotto K, Radulovic S. TP53 codon 72 polymorphism and risk of cervical carcinoma in Serbian women. *Archives of gynecology and obstetrics* 2013; 288(3):621-5.
  30. Li B, Wang X, Chen H, et al. TP53 codon 72 polymorphism and susceptibility to cervical cancer in the Chinese population: an update meta-analysis. *International journal of clinical and experimental medicine* 2015;8(6):9055-62.
  31. Sullivan A, Syed N, Gasco M, et al. Polymorphism in wild-type p53 modulates response to chemotherapy in vitro and in vivo. *Oncogene* 2004; 23: 3328-37.
  32. Pim D, Banks L. p53 polymorphic variants at codon 72 exert different effects on cell cycle progression. *International journal of cancer* 2004; 108(2): 196-9
  33. Bergamaschi D, Samuels Y, Sullivan A, et al. iASPP preferentially binds p53 proline-rich region and modulates apoptotic function of codon 72-polymorphic p53. *Nature genetics* 2006; 38(10):1133-41.
  34. Shanehsazzadeh M, Sharifi-Rad J, Behbahani M, et al. Analysis of Human Papillomavirus and Herpes Simplex Virus Genus-2 from Patients with Cervical Cancer in Isfahan, Iran. *Mater Sociomed* 2014; 26(4): 234-6.

Original Article

# Codon 72 Polymorphism of *TP53* Gene in Cervical Biopsies with Abnormal Histology in Bushehr Province

M. Zaker Hosseini (Msc)<sup>1</sup>, S. Naeimi (PhD)<sup>1</sup>, M. Moradinasab (Msc)<sup>2</sup>,  
S. Taherkhani (PhD)<sup>3</sup>, F. Farshadpour (PhD)<sup>4</sup>, A. Ansarifar (Msc)<sup>4</sup>,  
R. Taherkhani (PhD)<sup>2\*</sup>

<sup>1</sup> Department of Genetics, Colleague of Science, Kazerun branch, Islamic Azad University, Kazerun, Iran

<sup>2</sup> The Persian Gulf Tropical Medicine Research Center, The Persian Gulf Biomedical Sciences Research Institute, Bushehr University of Medical Sciences, Bushehr, Iran

<sup>3</sup> Reproductive Health and Midwifery Department, School of Nursing and Midwifery, Shahroud University of Medical Sciences, Shahroud, Iran

<sup>4</sup> The Persian Gulf Marine Biotechnology Research Center, The Persian Gulf Biomedical Sciences Research Institute, Bushehr University of Medical Sciences, Bushehr, Iran

(Received 29 Mar, 2017

Accepted 11 Nov, 2017)

## Abstract

**Background:** *TP53* tumor suppressor gene plays a role in repairing DNA damage as well as in cell apoptosis. This study was conducted to compare codon 72 polymorphism of *TP53* gene between abnormal cervical tissue samples and samples of healthy women as a control group. In addition the frequency of human herpes simplex viruses (HSV) in these samples was determined.

**Material and Methods:** In this case-control study, 110 biopsies of the cervix with abnormal pathology were examined from archives of the Department of Pathology at Shohadaye Khalij Fars Hospital, and 164 healthy women were selected as the control group. PCR test was used for detection of HSV, and Allele-specific PCR was used for analyzing codon 72 polymorphism of *TP53* gene. Data was analyzed in SPSS software.

**Results:** Distribution of codon 72 of *TP53* genotypes in patient and control groups was not statistically significant. Evaluation of the frequency of arginine and proline alleles in the patient and control groups revealed that fewer patients were without proline allele (19%) compared to the control (30.1%), and this difference was statistically significant ( $p=0.04$ ), (OR: 1.03-3.36 ·CI 95%=1.86). Furthermore, there was no significant correlation between *TP53* genotype and variables of the pathology report, age, ethnicity and place of residence. In this study, HSV was not detected in the samples.

**Conclusion:** Because of the significant difference in proline allele between the case and control groups, it appears that this allele is associated with the abnormal cervical pathology results in Bushehr Province.

**Keywords:** Polymorphism, *TP53* gene, Herpes simplex virus, Allele-specific PCR

©Iran South Med J. All rights reserved.

Cite this article as: Zaker Hosseini M, Naeimi S, Moradinasab M, Taherkhani S, Farshadpour F, Ansarifar A, Taherkhani R. Study of Codon 72 Polymorphism of *TP53* Gene in Cervical Biopsies with Abnormal Histology in Bushehr Province. Iran South Med J 2018; 21(1): 19-28

Copyright © 2018 Zaker Hosseini, et al. This is an open-access article distributed under the terms of the Creative Commons Attribution-noncommercial 4.0 International License which permits copy and redistribute the material just in noncommercial usages, provided the original work is properly cited.

\*Address for correspondence: The Persian Gulf Tropical Medicine Research Center, The Persian Gulf Biomedical Sciences Research Institute, Bushehr University of Medical Sciences, Bushehr, Iran. Email: taherkhanireza2005@yahoo.com- ORCID: 0000-0002-4099-7584